子华海化的飨染志®

ZHONGHUA XIAOHUA NEIJING ZAZHI

2024年3月 第41卷 第3期

Volume 41 Number 3 March 2024



CHINESE MEDICAL ASSOCIATION

ISSN 1007-5232



消化内统系

CHINESE JOURNAL OF DIGESTIVE ENDOSCOPY



月刊 1996年8月改刊 第41卷 第3期 2024年3月20日出版

微信: xhnjxw

主 管

中国科学技术协会

主办

中华医学会 100710,北京市东四西大街42号

编

中华消化内镜杂志编辑委员会 210003,南京市紫竹林3号 电话:(025)83472831,83478997 传真:(025)83472821 Email:xhnj@xhnj.com http://www.zhxhnjzz.com http://www.medjournals.cn

总编辑

张澍田

编辑部主任

唐涌进

出版

《中华医学杂志》社有限责任公司 100710,北京市东四西大街42号 电话(传真):(010)51322059 Email:office@cmaph.org

广告发布登记号

广登32010000093号

印刷

江苏省地质测绘院

发 行

范围:公开

国内:南京报刊发行局 国外:中国国际图书贸易集团 有限公司 (北京 399 信箱, 100048) 代号 M4676

订 购

全国各地邮政局 邮发代号 28-105

邮

中华消化内镜杂志编辑部 210003,南京市紫竹林3号 电话:(025)83472831 Email; xhnj@xhnj.com

定价

每期25.00元,全年300.00元

中国标准连续出版物号

ISSN 1007-5232

CN 32-1463/R

2024年版权归中华医学会所有

未经授权,不得转载、摘编本刊 文章,不得使用本刊的版式设计

除非特别声明,本刊刊出的所有 文章不代表中华医学会和本刊 编委会的观点

本刊如有印装质量问题,请向本刊 编辑部调换

目 次

共识与排	旨南
------	----

短篇论著

胆管支架联合光动力和(或)射频消融治疗在肝外胆管癌中的应用	230
王佳 金立鵬 丛羽晨 张航 孟毓珊 谢丛 毛庆东 薛魁金 綦鵬 何宝国 鞠辉 毛涛 魏良洲	
田字彬 曹彬	
病例报道	
内镜下切除胃丛状血管黏液样肌纤维母细胞瘤1例	236
姜雨婷 郑晓玲	
前列腺癌术后自动结扎夹移位表现为直肠黏膜下肿瘤1例	239
阿依木克地斯·亚力孔 齐志鹏 賀东黎 周平红 钟芸诗	
胶原基质生物膜治疗盆腔放疗后的难治性放射性肠炎1例(含视频)	241
庄颖佳 王频 戴建武 陈敏 邹晓平	
综	
消化道全层缺损内镜下闭合方式的研究进展	244
许青芃 李锐	
儿童肠道准备质量的影响因素及其研究进展	248
范娜 李元霞 江逊	
读者・作者・编者	
《中华消化内镜杂志》2024年可直接使用英文缩写的常用词汇	183
《中华消化内镜杂志》2024年征订启事 · · · · · · · · · · · · · · · · · · ·	223
《中华消化内镜杂志》对来稿中统计学处理的有关要求	235
插页目次	203
大利亳约贝第41 券第 1 期第 82 页	

本期责任编辑 钱程

本刊编辑部工作人员联系方式

唐涌进, Email: tang@xhnj.com 周 昊,Email:zhou@xhnj.com 顾文景, Email: gwj@xhnj.com

朱 悦, Email: zhuyue@xhnj.com 钱 程, Email: qian@xhnj.com 许文立, Email: xwl@xhnj.com

本刊投稿方式

登录《中华消化内镜杂志》官方网站http://www.zhxhnjzz.com进行在线投稿。







周





朱 悦

钱 程

许文立

(扫码添加编辑企业微信)

·短篇论著。

胆管支架联合光动力和(或)射频消融治疗在肝外胆管癌中的应用

王佳 金立鹏 丛羽晨 张航 孟毓珊 谢丛 毛庆东 薛魁金 綦鹏 何宝国 鞠辉 毛涛 魏良洲 田字彬 曹彬

青岛大学附属医院消化内科青岛大学医学部,青岛266000

通信作者:曹彬,Email: qycaobin@126.com

【提要】 为探讨内镜下胆管支架置入后行光动力治疗(photodynamic therapy,PDT)和(或)射频消融术(radiofrequency ablation,RFA)在不可切除肝外胆管癌(extrahepatic cholangiocarcinoma,EHCC)姑息治疗中的应用,回顾性分析了2017年1月至2023年1月在青岛大学附属医院消化内科治疗的5例EHCC患者的临床资料。5例患者均先接受胆管支架置入治疗,支架置入后6个月内接受PDT和(或)RFA。5例患者手术均成功。治疗后,5例患者血清胆红素水平均明显下降,术后恢复良好,1~3 d即好转出院。1例患者出现感染性并发症,其余均未发生不良事件。胆管支架治疗先于PDT和(或)RFA对EHCC进行姑息治疗,为后续PDT和(或)RFA顺利进行创造良好条件,可明显提高手术成功率,快速有效解除管腔梗阻,减少术后不良事件的发生,缩短术后恢复时间。

【关键词】 胆管肿瘤; 光动力治疗; 射频消融术; 支架

Application of biliary stent combined with photodynamic therapy and (or) radiofrequency ablation to extrahepatic cholangiocarcinoma

Wang Jia, Jin Lipeng, Cong Yuchen, Zhang Hang, Meng Yushan, Xie Cong, Mao Qingdong, Xue Kuijin, Qi Peng, He Baoguo, Ju Hui, Mao Tao, Wei Liangzhou, Tian Zibin, Cao Bin

Department of Gastroenterology, The Affiliated Hospital of Qingdao University; Qingdao University of Medicine, Qingdao 266000, China

Corresponding author: Cao Bin, Email: qycaobin@126.com

[Summary] To explore the application of photodynamic therapy (PDT) and (or) radiofrequency ablation (RFA) after endoscopic biliary stent placement in the palliative treatment of unresectable extrahepatic cholangiocarcinoma (EHCC), clinical data of 5 EHCC patients who were treated at the Department of Gastroenterology, the Affiliated Hospital of Qingdao University from January 2017 to January 2023 were analyzed. Five EHCC patients were treated with biliary stenting followed by PDT and (or) RFA within 6 months. The operation was successful in 5 patients. After treatment, the serum bilirubin levels of 5 patients significantly decreased, and they were discharged from the hospital after 1-3 days of recovery. Only 1 patient had infectious complication, while the other patients did not experience any adverse events. Biliary stenting prior to PDT and (or) RFA for palliative treatment of EHCC creates favorable conditions for subsequent PDT and (or) RFA, which can significantly improve the success rate of the operation, effectively alleviate lumen obstruction, reduce postoperative adverse events, and shorten postoperative recovery time.

[Key words] Bile duct neoplasms; Photodynamic therapy; Radiofrequency ablation; Stents

胆管癌是一种起源于胆管上皮的高度侵袭性恶性肿瘤。以二级胆管为解剖标志,胆管癌分为肝内胆管癌和肝

外胆管癌,其中肝外胆管癌占胆管癌的80%~90%^[1]。胆管癌是仅次于肝细胞癌第二常见的原发性肝癌,约占所有原

DOI: 10.3760/cma.j.cn321463-20230605-00129 收稿日期 2023-06-05 本文编辑 钱程

引用本文:王佳,金立鹏,丛羽晨,等.胆管支架联合光动力和(或)射频消融治疗在肝外胆管癌中的应用[J].中华消化内镜杂志,2024,41(3):230-235. DOI: 10.3760/ema.j.cn321463-20230605-00129.



发性肝癌的15%,约占胃肠道恶性肿瘤的3%,而且其发病率和死亡率在全球范围内呈上升趋势^[2]。目前,手术切除是治疗胆管癌最有效的方法,但由于早期胆管癌发病隐匿,大部分患者诊断时已失去手术机会。不可切除胆管癌患者的总生存期仍小于1年,只有大约35%的患者符合手术条件^[1],且极易复发,约80%的患者会在术后两年内复发^[3]。因此迫切需要更有效的治疗方法来提高胆管癌患者的生存率。

胆管支架置人术已被广泛接受用于治疗不可切除的恶 性胆管狭窄[4],但是单纯放置胆管支架只能获得短暂的缓 解期[5]。近年来,光动力治疗(photodynamic therapy, PDT) 和射频消融术(radiofrequency ablation, RFA)作为新型技术 已广泛应用于多种恶性肿瘤的治疗中。多项研究证实,对 于肝外胆管癌,PDT和(或)RFA联合支架治疗可解决恶性 胆管梗阻的问题,同时还可以抑制肿瘤细胞的生长浸润,大 大延长患者生存期,提高患者生存质量,是治疗肝外胆管癌 切实可行的办法[4,6]。目前临床上已报道的PDT和(或) RFA 联合支架治疗肝外胆管癌的相关研究[7-8],未能探讨支 架治疗先于PDT和(或)RFA对于肝外胆管癌患者治疗疗效 和预后的影响。我们通过改良内镜下胆管支架置入后再联 合PDT和(或)RFA 姑息治疗的方法成功治疗5例肝外胆管 癌患者,现报道如下,以期为后续进一步研究PDT和(或) RFA联合支架治疗的先后顺序对于肝外胆管癌疗效和预后 的不同影响提供参考。

一、病例资料

选择2017年1月至2019年1月青岛大学附属医院消化内科接诊的5例肝外胆管癌患者,包括男4例,女1例。纳入标准:(1)内镜逆行胰胆管造影术(endoscopic retrograde cholangiopancreatography, ERCP)、CT和(或)磁共振胰胆管成像术(magnetic resonance cholangiopancreatography,MRCP)确定为肝外胆管癌且肿瘤不可切除,肿瘤长径大于3 cm;(2)组织病理学或细胞学明确诊断;(3)无其他器官癌症的证据。排除标准:(1)患有严重并发症,生存期小于6周;(2)卟啉症或已知对卟啉不耐受;(3)既往化疗或放疗史;(4)既往技术上成功的胆管支架置入术,无论有无取出;(5)胆管癌部分切除;(6)远处转移;(7)拒绝签署知情同意书。

二、治疗方法

1.胆管支架置入:十二指肠镜进镜至十二指肠乳头处, 用切开刀和导丝行选择性胆管插管,注入造影剂,观察胆管 狭窄程度。沿导丝行乳头小切开后应用胆管扩张导管行狭 窄段扩张,于胆总管狭窄处放置胆管支架。

2.PDT治疗:术前准备(PDT前48h)采用光敏剂皮试血卟啉注射液(重庆市,华鼎现代生物制药有限责任公司)避光融化后,取原液 0.1 mL(2 mg/kg)配 50 mL生理盐水,抽取1 mL皮下注射,观察 10~15 min后皮肤无红肿、硬结即为阴性(阳性提示光敏剂过敏)。皮试阴性后取血卟啉注射液5支(2 mg/kg)配 250 mL生理盐水静脉滴注,全程心电监护,用药后对患者予以严格的避光护理。给药48h后经ERCP在胆总管狭窄处行局部照射治疗,照射完成后用生理盐水冲洗坏死组织。术后均严格进行避光护理。PDT1次/d,共治疗2d。

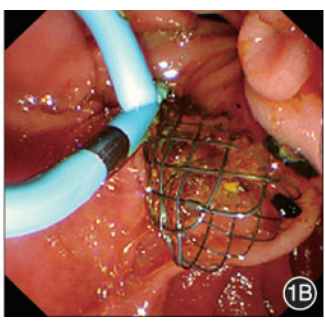
3.RFA治疗: ERCP下循导丝将RFA电极(Habib 双极射 频导管,英国 Emcision 公司)送入胆管并到达胆管狭窄处进行肿瘤消融,长度约(25±3)mm,深度5 mm。

二、结果

5 例病例均确诊为不可切除的肝外胆管癌,患者均先成功接受胆管支架置入治疗,后在6个月内行PDT和(或)RFA。手术成功率100%。治疗后,5 例患者血清胆红素水平均明显下降,术后恢复良好,1~3 d即好转出院。1 例患者出现感染性并发症,其余均未发生不良事件。5 例患者具体情况如下。

病例1:69岁男性,因上腹痛不适4个月余人院,既往体健,ERCP示胆总管中段狭窄,狭窄段长约25 mm,病理诊断为腺癌(中分化)。患者先于胆总管狭窄处留置10 mm×80 mm的自膨式金属支架1枚。支架置入5 d后,行PDT,于胆总管中段置入5 cm光纤行局部治疗,总能量900 J,手术顺利,胆汁引流通畅(图1)。PDT术后1 d,患者无明显不适,嘱出院。2个月后复查肝功能示,总胆红素(total bilirubin,TBil)从原先39.9 μmol/L降至15.9 μmol,直接胆红素(direct bilirubin,DBil)从原先25.8 μmol/L降至4.2 μmol/L,丙氨酸转氨酶(alanine aminotransferase,ALT)从原先54.6 U/L降至21.4 U/L,天冬氨酸转氨酶(aspartate aminotransferase,AST)从原先48.8 U/L降至22.1 U/L,未出现治疗相关并发







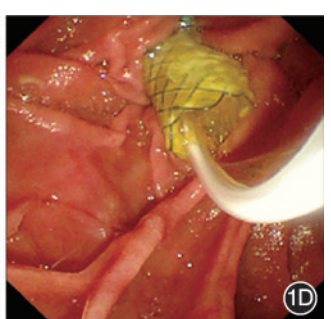


图1 病例1治疗过程 1A:造影示胆总管中段细线样狭窄,狭窄段长约25 mm;1B:内镜下示胆总管狭窄处留置10 mm×80 mm的自膨式金属支架1枚;1C:支架位置适当,胆汁引流通畅;1D:支架置入5 d后,行光动力治疗

症。PDT术后7个月,复查上腹部增强CT示胆源性恶性肿瘤肝内播散,行放射性粒子置入治疗,手术顺利。PDT术后约12个月,患者死于癌症。

病例2:75岁女性,因腹胀、腹痛3个月余入院,既往高血压、糖尿病病史,ERCP示胆总管末端细线样狭窄,狭窄段长约10 mm,病理诊断为腺癌(较高分化)。患者先于胆总管狭窄处留置10 mm×80 mm的自膨式金属支架1枚。支架置人6个月后,支架末端十二指肠乳头不规则增生,较前进展,行RFA治疗,于金属支架内置入射频导管局部治疗,功率8 W,消融时间90 s,见乳头旁肿瘤组织坏死,胆汁引流通畅(图2)。RFA术后2 d,患者无明显不适,嘱出院。1个月后复查肝功能示,TBil从原先34.6 μmol/L降至9.8 μmol/L, DBil 从原先19.1μmol/L降至2.8 μmol/L, ALT 从原先306.1 U/L降至8.1 U/L,AST从原先839.4 U/L降至16.0 U/L,未出现治疗相关并发症。患者随访至RFA术后约6个月,病情未明显进展。

病例3:78岁男性,因腹痛伴皮肤、虹膜黄染1周入院,既往高血压、房颤病史多年,ERCP示胆总管末端类圆形充盈缺损,大小约6 mm×5 mm,病理诊断为高级别上皮内瘤变。患者先于胆总管末端分别留置8.5 Fr×5 cm 圣诞树支架、8.5 Fr×5 cm 一体式胆管支架各1枚。支架置入15 d后,行PDT治疗,于胆总管末端行局部治疗,总能量1300 J,手术顺利,胆汁引流通畅(图3)。PDT术后2d,查肝功能示,TBil 从原先202.5 μmol/L 降至32.1 μmol/L, DBil 从原先129.0 μmol/L 降至16.2 μmol/L, ALT 从原先40.0 U/L 降至8.8 U/L。患者无明显不适,嘱出院。患者随访至PDT术后约34个月,病情未明显进展。

病例4:80岁男性,因上腹痛、皮肤黄染1个月余人院,既往高血压、2型糖尿病及脑梗死病史多年,ERCP示胆总管中段狭窄,狭窄段长约15 mm,病理诊断为腺癌(较低分化)。患者先于胆总管狭窄处留置10 mm×80 mm的自膨式金属支架1枚。支架置入1个月后,行PDT,于胆总管中段置入5 cm光纤行局部治疗,总能量1200 J,手术顺利,胆汁引流通畅。PDT术后1 d,患者无明显不适,嘱出院,1个月后复查肝功能示,TBil从原先422.7 μmol/L降至21.2 μmol/L,DBil从原先291.8 μmol/L 降至12.8 μmol/L,ALT从原先158.6 U/L降至22.3 U/L,AST从原先78.8 U/L降至19.0 U/L,未出现治疗相关并发症。PDT术后4个月,患者因胆管支架阻塞继发

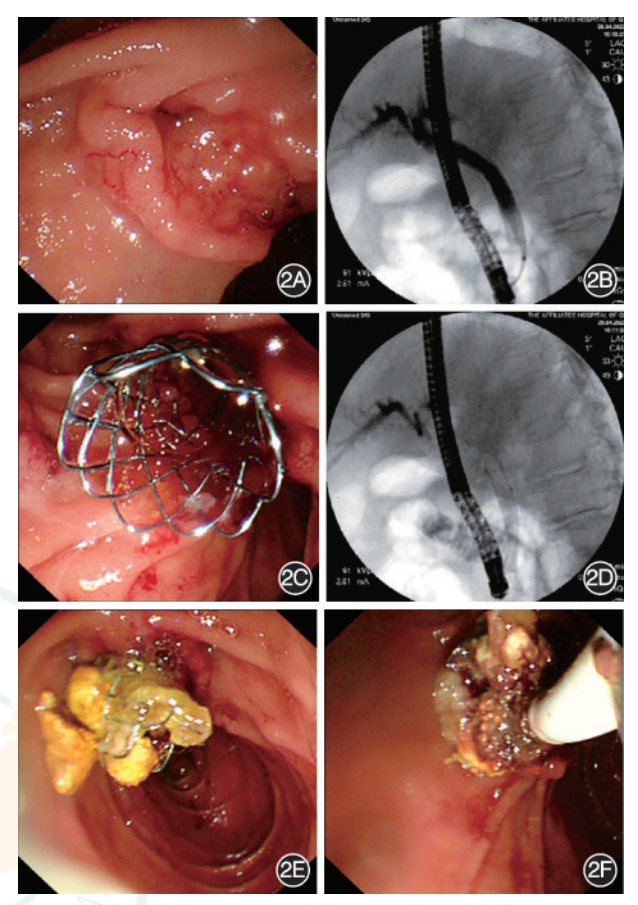


图2 病例2治疗过程 2A:內镜下胆总管末端占位;2B:造影示末端细线样狭窄,狭窄段长约10 mm;2C: 胆总管狭窄处留置10 mm×80 mm的自膨式金属支架1枚;2D:支架位置适当,胆汁引流通畅;2E:支架置入6个月后,支架末端十二指肠乳头不规则增生,较前进展;2F:行射频消融治疗

化脓性胆管炎再次入院治疗,行RFA治疗2次,2次间隔时间30d,功率均为8W,消融时间均为180s,见乳头旁肿瘤组织坏死。RFA治疗后行双支架胆道引流,胆汁引流通畅(图4)。患者肝功能改善。PDT术后约10个月,患者死于癌症。

病例5:85岁男性,因腹痛2周余人院,既往高血压病史3个月余,ERCP示胆总管下段狭窄,狭窄段长约15 mm,病理诊断为高级别异型增生。患者先于胆总管狭窄处分别留置8.5 Fr×5 cm塑料支架、8.5 Fr×7 cm圣诞树支架各一枚。支架置入1个月后,行PDT,于胆总管中段置入5 cm光纤行

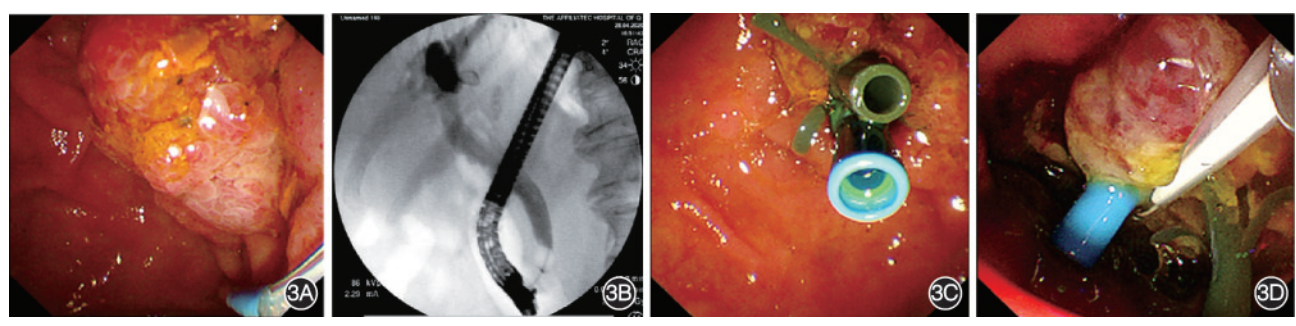


图3 病例3治疗过程 3A:内镜下胆总管末端占位;3B:造影示胆总管末端类圆形充盈缺损,大小约6 mm×5 mm;3C:胆总管末端分别留置8.5 Fr×5 cm圣诞树支架,8.5 Fr×5 cm一体式胆管支架各一枚,位置适当,胆汁引流通畅;3D:支架置人15 d后,行光动力治疗

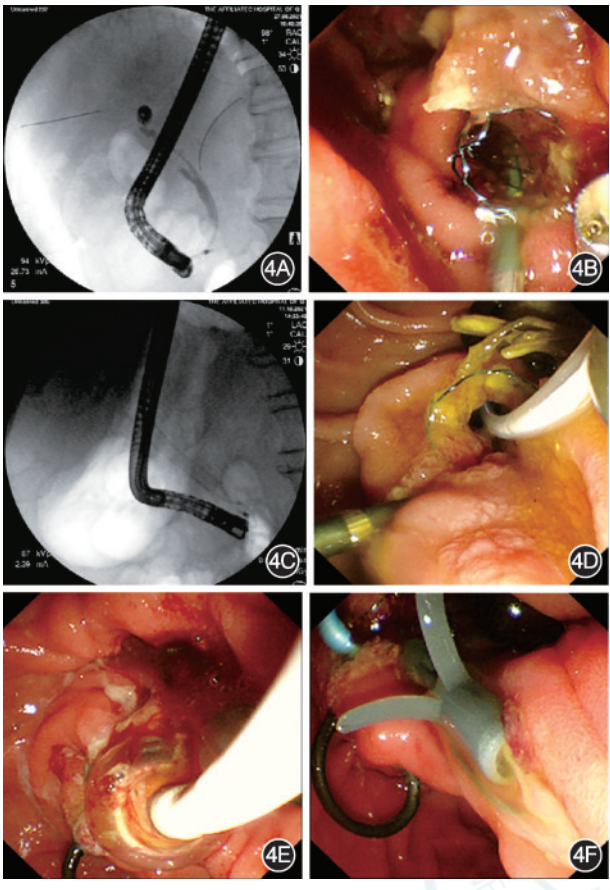


图4 病例4治疗过程 4A: 造影示胆总管中段细线样狭窄,狭窄段长约15 mm;4B:内镜下示胆总管狭窄处留置10 mm×80 mm的自膨式金属支架1枚;4C:支架位置适当,胆汁引流通畅;4D:支架置入1个月后,行光动力治疗(PDT);4E: PDT术后4个月,肿瘤进展,行射频消融术(RFA)治疗2次;4F: RFA治疗后行双支架胆道引流,胆汁引流通畅

局部治疗,总能量 1 200 J,手术顺利,胆汁引流通畅(图 5)。 PDT术后 4个月复查肝功能,TBil从原先 118.2 μ mol/L降至 18.4 μ mol/L,DBil从原先 70.3 μ mol/L降至 5.9 μ mol/L,ALT 从原先 523.9 U/L降至 11.8 U/L,AST 从原先 447.3 U/L降至 17.0 U/L。但肿瘤进展,行 RFA 治疗 2次,2次间隔时间 30 d,功率均为8 W,消融时间均为 180 s,见乳头旁肿瘤组织坏死。RFA 治疗后行双支架胆道引流,胆汁引流通畅。术后 2 d,患者无明显不适,嘱出院。随访至 RFA 术后约 1个月,病情未明显进展。

讨论 胆管支架治疗是晚期肝外胆管癌重要的姑息治疗手段,塑料支架和金属支架均可解除胆道梗阻,改善患者生活质量,延长生存期^[45]。不同支架材料的选择与患者的预后密切相关。塑料支架费用较低、操作技术简单、发生阻塞时易于拆除和替换,然而其直径较小,容易发生阻塞,单边或双边支架置入术后有20%~40%的概率发生胆管炎^[9-10]。应用塑料支架治疗恶性胆管梗阻,多数患者在治疗过程中至少需要更换1次支架^[11]。与塑料支架相比,金属支架以其直径大,强度好,侧壁的网孔设计使引流更加充分等优点,在近年来的研究中显示出更长的支架通畅时间和

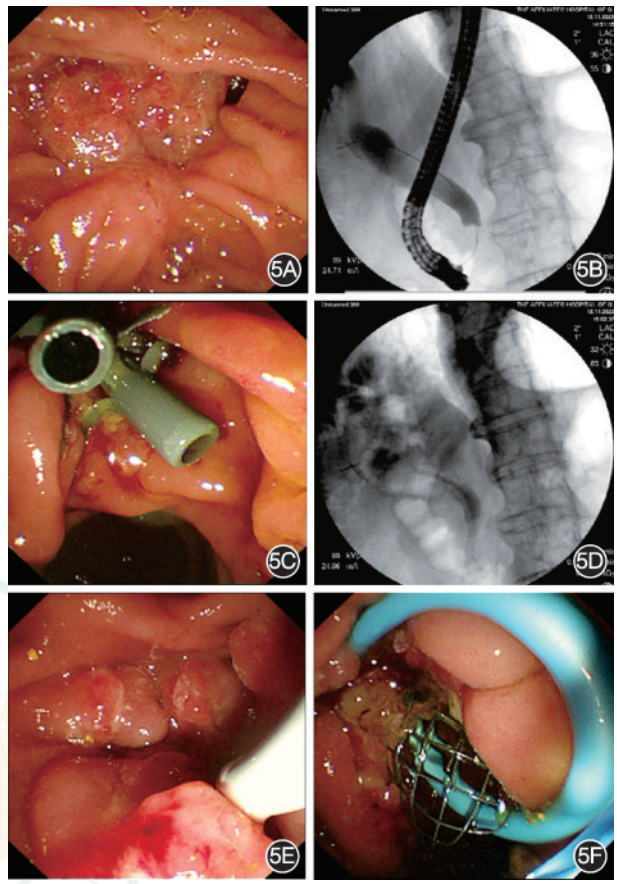


图 5 病例 5 治疗过程 5A:内镜下示胆总管下段截断样狭窄; 5B: 造影示狭窄段长约 15 mm; 5C: 胆总管狭窄处分别留置 8.5 Fr×5 cm塑料支架、8.5 Fr×7 cm圣诞树支架各一枚;5D: 支架位置适当,胆汁引流通畅;5E:支架置人1个月后,行光动力治疗(PDT);5F:PDT术后4个月,肿瘤进展,行射频消融术(RFA)治疗2次,RFA治疗后行双支架胆道引流,胆汁引流通畅

更小的梗阻复发率,应用日渐增多^[12]。其中自膨式金属支架是应用最为广泛的金属支架^[13],其自膨式的特点使金属支架更易于通过狭窄部位^[14]。塑料支架与金属支架的选择因患者病情决定,一般认为金属支架主要应用于预期生存时间>3个月、接受化疗或其他姑息性治疗的不可切除的胆管癌患者^[9,15]。

PDT在20世纪80年代被引入国内,因其创伤小,毒性小,重复性好,可消灭隐性癌病灶,临床疗效确切等优点,近年来受到了人们越来越多的关注,并得到了迅速地发展,被广泛应用于各种恶性肿瘤的研究和治疗^[16-18]。其原理主要是基于"光敏药物"对肿瘤细胞及正常组织细胞有不同的亲和性,通过光敏剂的光生化反应产生活性氧簇,与肿瘤细胞中的分子发生氧化反应而杀伤肿瘤细胞^[17]。与PDT疗效相似,得益于消融导管的研制成功,RFA得到了迅速发展^[19]。其通过插入靶组织内的射频电极发射一定频率的电流,从而达到在保留周围健康组织的同时根除肿瘤的目的^[20-21]。近年来多项研究报道PDT或RFA联合支架治疗肝外胆管癌有着较好的临床疗效,已然成为肝外胆管癌姑息治疗的重要方法。Witzigmann等^[22]回顾性分

析了184例肝门部胆管癌患者接受手术治疗、PDT联合支架治疗、单纯支架治疗的预后效果,结果表明对于无法获得根治性切除的肝门部胆管癌患者,PDT联合支架治疗的效果明显优于单纯支架引流,并且不低于姑息性手术治疗的效果。一项纳入11项研究、共659例胆管癌患者的Meta分析亦表明,PDT联合支架引流与单纯胆管支架引流相比显著延长了患者的生存期(P<0.01)^[15]。一项关于RFA的随机试验表明,内镜下RFA联合支架置入术可显著延长肝外胆管癌患者的生存期和支架通畅期,而不会增加肝外胆管癌患者的不良事件发生率^[23]。由此可见PDT或RFA对于不可切除的肝外胆管癌患者,在缩小肿瘤体积,延缓肿瘤生长,进而延长患者的生存期等方面发挥了关键作用。

目前鲜有研究报道支架治疗先于PDT和(或)RFA对于 肝外胆管癌患者疗效和预后的影响。为此,我们提出了该 种改良方案,并成功对5例患者实施治疗,取得了良好的效 果。与PDT和(或)RFA 先于支架治疗相比,该方案有以下 几个优点:(1)PDT和RFA成功率理论可达100%,并可以大 大缩短操作时间。因为个体自身解剖的差异性,十二指肠 乳头偏小、偏歪、巨大憩室等情况时有发生,再加上幽门狭 窄、十二指肠变形狭窄以及胃肠道肿瘤、手术的影响,约 11%的治疗性ERCP被认为是困难插管[24],从而导致ERCP 治疗失败。PDT需提前48h注射光敏剂,且其价格昂贵,一 旦PDT失败,会给患者造成不必要的巨大开销,易引发医患 矛盾。然而在我们的改良方案中,金属支架率先置人,形成 大直径的十二指肠乳头和胆总管方便光纤探头进入和操 作,使更复杂的治疗成为可能,保证了手术成功率和治疗的 流畅性,从而大大缩短治疗时间,降低了治疗成本。(2)手术 安全性大大提高,且缩短了术后恢复时间,术后并发症的发 生率也明显降低。在PDT或RFA进行之前置入支架,提前 起到了降低胆红素水平和改善肝脏功能的效果,从而改善 患者身体状况,有利于提高手术安全性并促进患者术后快 速恢复,患者术后1~3 d即可出院。(3) 临床疗效显著,预后 效果较好。5例患者术后TBil水平降低均超过60%,肝功能 明显改善,临床症状得到充分缓解,生活质量较前明显提 高。本研究的局限性在于缺乏对照组,样本量有限,应进一 步确定成功率和功效,以评估该改良方案的可行性和安 全性。

胆管支架置入联合PDT和(或)RFA对肝外胆管癌进行姑息治疗,可大大提高手术成功率,减少术后并发症的发生,缩短术后恢复时间。但仍需要进一步随机对照试验,比较PDT和(或)RFA联合支架治疗的先后顺序对于肝外胆管癌的疗效与预后是否有不同的影响,以及大型患者系列的长期随访结果,以确认和扩大该治疗方案的可行性和有效性。

利益冲突 所有作者声明不存在利益冲突

作者贡献声明 王佳:资料收集、数据整理、论文撰写;金立鹏、丛羽晨、张航、孟毓珊、谢丛:数据整理;毛庆东、薛魁金、綦鹏:资料收集;何宝国、鞠辉、毛涛:研究指导;魏良洲、田字彬:论文审阅修改;

曹彬:研究设计、论文审阅修改、经费支持

参考文献

- [1] Cadamuro M, Al-Taee A, Gonda TA. Advanced endoscopy meets molecular diagnosis of cholangiocarcinoma[J]. J Hepatol, 2023, 78(5): 1063-1072. DOI: 10.1016/j. jhep.2023.01.027.
- [2] Greten TF, Schwabe R, Bardeesy N, et al. Immunology and immunotherapy of cholangiocarcinoma[J]. Nat Rev Gastroenterol Hepatol, 2023, 20(6): 349-365. DOI: 10.1038/ s41575-022-00741-4.
- [3] Cillo U, Fondevila C, Donadon M, et al. Surgery for cholangiocarcinoma[J]. Liver Int, 2019, 39(Suppl 1): 143-155. DOI: 10.1111/liv.14089.
- [4] Li Z, Jiang X, Xiao H, et al. Long-term results of ERCP-or PTCS-directed photodynamic therapy for unresectable hilar cholangiocarcinoma[J]. Surg Endosc, 2021,35(10):5655-5664. DOI: 10.1007/s00464-020-08095-1.
- [5] Almadi MA, Barkun A, Martel M. Plastic vs. self-expandable metal stents for palliation in malignant biliary obstruction: a series of Meta-analyses[J]. Am J Gastroenterol, 2017, 112(2): 260-273. DOI: 10.1038/ajg.2016.512.
- [6] Song S, Jin H, Cheng Q, et al. Local palliative therapies for unresectable malignant biliary obstruction: radiofrequency ablation combined with stent or biliary stent alone? An updated meta-analysis of nineteen trials[J]. Surg Endosc, 2022, 36(8):5559-5570. DOI: 10.1007/s00464-022-09181-2.
- [7] Mohan BP, Chandan S, Khan SR, et al. Photodynamic therapy (PDT), radiofrequency ablation (RFA) with biliary stents in palliative treatment of unresectable extrahepatic cholangiocarcinoma: a systematic review and Meta-analysis[J]. J Clin Gastroenterol, 2022, 56(2): e153-e160. DOI: 10.1097/ MCG.00000000000001524.
- [8] Inoue T, Yoneda M. Recent updates on local ablative therapy combined with chemotherapy for extrahepatic cholangiocarcinoma: photodynamic therapy and radiofrequency ablation[J]. Curr Oncol, 2023, 30(2): 2159-2168. DOI: 10.3390/curroncol30020166.
- [9] Khan SA, Davidson BR, Goldin RD, et al. Guidelines for the diagnosis and treatment of cholangiocarcinoma: an update[J]. Gut, 2012, 61(12): 1657-1669. DOI: 10.1136/ gutjnl-2011-301748.
- [10] 张航,綦鹏,谢丛,等. 胆总管结石合并胆道感染患者胆汁细 菌谱和耐药性变异分析[J]. 中华消化杂志,2023,43(1): 24-30.DOI:10.3760/cma.j.cn311367-20220508-00214.
- [11] Blechacz B, Komuta M, Roskams T, et al. Clinical diagnosis and staging of cholangiocarcinoma[J]. Nat Rev Gastroenterol Hepatol, 2011,8(9):512-522. DOI: 10.1038/nrgastro.2011.131.
- [12] Park SW, Lee KJ, Chung MJ, et al. Covered versus uncovered double bare self-expandable metal stent for palliation of unresectable extrahepatic malignant biliary obstruction: a randomized controlled multicenter trial[J]. Gastrointest Endosc, 2023,97(1):132-142. DOI: 10.1016/j.gie.2022.08.041.
- [13] Okuno M, Iwata K, Mukai T, et al. Effect of ursodeoxycholic acid after self-expandable metal stent placement in malignant distal biliary obstruction: a propensity score-matched cohort analysis[J]. Gastrointest Endosc, 2023, 97(4): 713-721. DOI: 10.1016/j.gie.2022.10.038.
- [14] 马天翼,万超,白成. 胆道支架治疗远端恶性胆道梗阻相关 并发症的防治[J]. 中华消化内镜杂志,2023,40(3):248-252.

- DOI:10.3760/cma.j.cn321463-20220221-00668.
- [15] 陈士明,娄玥,方煊,等. 光动力疗法联合支架引流与单独支架引流治疗不可切除胆管癌疗效的 Meta 分析[J]. 中华肝胆外 科 杂 志 , 2018, 24(9): 616-621. DOI: 10.3760/cma. j. issn.1007-8118.2018.09.011.
- [16] Li X, Lovell JF, Yoon J, et al. Clinical development and potential of photothermal and photodynamic therapies for cancer[J]. Nat Rev Clin Oncol, 2020, 17(11): 657-674. DOI: 10.1038/s41571-020-0410-2.
- [17] Agostinis P, Berg K, Cengel KA, et al. Photodynamic therapy of cancer: an update[J]. CA Cancer J Clin, 2011, 61(4): 250-281. DOI: 10.3322/caac.20114.
- [18] 高道键,叶馨,吴军,等. 内镜下光动力治疗在胆管癌及壶腹癌治疗中的作用研究[J]. 中华消化内镜杂志,2020,37(9): 621-627.DOI:10.3760/cma.j.cn321463-20191221-00838.
- [19] 邵杭锋,杨建锋.射频消融治疗不可切除胆管癌研究进展 [J]. 中华消化内镜杂志,2021,38(3):245-248.DOI:10.3760/ cma.j.cn321463-20200509-00727.
- [20] Lee EW, Chen C, Prieto VE, et al. Advanced hepatic ablation technique for creating complete cell death: irreversible

- electroporation [J]. Radiology, 2010, 255(2): 426-433. DOI: 10.1148/radiol.10090337.
- [21] Larghi A, Rimbas M, Tringali A, et al. Endoscopic radiofrequency biliary ablation treatment: a comprehensive review[J]. Dig Endosc, 2019, 31(3): 245-255. DOI: 10.1111/ den.13298.
- [22] Witzigmann H, Berr F, Ringel U, et al. Surgical and palliative management and outcome in 184 patients with hilar cholangiocarcinoma: palliative photodynamic therapy plus stenting is comparable to r1/r2 resection[J]. Ann Surg, 2006, 244(2):230-239. DOI: 10.1097/01.sla.0000217639.10331.47.
- [23] Yang J, Wang J, Zhou H, et al. Efficacy and safety of endoscopic radiofrequency ablation for unresectable extrahepatic cholangiocarcinoma: a randomized trial[J]. Endoscopy, 2018, 50(8):751-760. DOI: 10.1055/s-0043-124870.
- [24] DeBenedet AT, Elmunzer BJ, McCarthy ST, et al. Intraprocedural quality in endoscopic retrograde cholangiopancreatography: a meta-analysis[J]. Am J Gastroenterol, 2013, 108(11): 1696-1705. DOI: 10.1038/ajg. 2013.217.

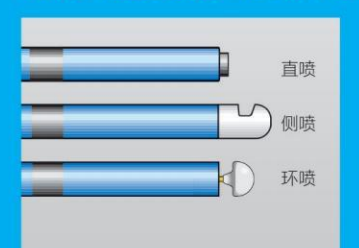
读者 · 作者 · 编者 •

《中华消化内镜杂志》对来稿中统计学处理的有关要求

- 1.统计研究设计:应交代统计研究设计的名称和主要做法。如调查设计(分为前瞻性、回顾性或横断面调查研究);实验设计(应交代具体的设计类型,如自身配对设计、成组设计、交叉设计、析因设计、正交设计等);临床试验设计(应交代属于第几期临床试验,采用了何种盲法措施等)。主要做法应围绕4个基本原则(随机、对照、重复、均衡)概要说明,尤其要交代如何控制重要非试验因素的干扰和影响。
- 2. 资料的表达与描述: 用 \bar{x} ±s表达近似服从正态分布的定量资料, 用 $M(Q_1,Q_3)$ 或M(IQR)表达呈偏态分布的定量资料; 用统计表时, 要合理安排纵横标目, 并将数据的含义表达清楚; 用统计图时, 所用统计图的类型应与资料性质相匹配, 并使数轴上刻度值的标法符合数学原则; 用相对数时, 分母不宜小于20, 要注意区分百分率与百分比。
- 3.统计学分析方法的选择:对于定量资料,应根据所采用的设计类型、资料所具备的条件和分析目的,选用合适的统计学分析方法,不应盲目套用 t 检验和单因素方差分析;对于定性资料,应根据所采用的设计类型、定性变量的性质和频数所具备的条件以及分析目的,选用合适的统计学分析方法,不应盲目套用 x²检验。对于回归分析,应结合专业知识和散布图,选用合适的回归类型,不应盲目套用简单直线回归分析,对具有重复实验数据的回归分析资料,不应简单化处理;对于多因素、多指标资料,要在一元分析的基础上,尽可能运用多元统计学分析方法,以便对因素之间的交互作用和多指标之间的内在联系进行全面、合理的解释和评价。
- 4.统计结果的解释和表达: 当P<0.05(或P<0.01)时,应说明对比组之间的差异有统计学意义,而不应说对比组之间具有显著性(或非常显著性)的差别;应写明所用统计学分析方法的具体名称(如:成组设计资料的t 检验、两因素析因设计资料的方差分析、多个均数之间两两比较的q 检验等),统计量的具体值(如t 值, χ^2 值,F 值等)应尽可能给出具体的P 值;当涉及到总体参数(如总体均数、总体率等)时,在给出显著性检验结果的同时,再给出95%可信区间。



用于高频手术中对血管、组织进行止血和消融









生产企业: Erbe Elektromedizin GmbH 德国爱尔博电子医疗仪器公司

产品注册证号及名称: [1] 国械注进 20163250794(氩气电极) 沪械广审(文)第250729-08795号

爱尔博(上海)医疗器械有限公司

地址: 上海市延安西路2201号上海国际贸易中心3002室 邮编: 200336 电话: 021-62758440 邮箱: info@erbechina.com 传真: 021-62758874 技术服务热线: 400-108-1851

SonoScape 开立

广告

HD-580

镜之所及 芯之所向





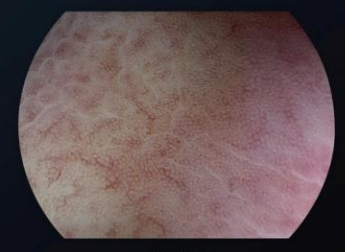
IE 图像质量 跨越式提升 **MS** 多核心 异构系统 **DI** 光学染色 技术升级 NGE 镜体性能 优化

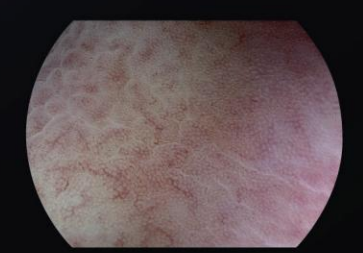
染色革新 多光谱技术

助力消化系统早期疾病快速筛查、诊断

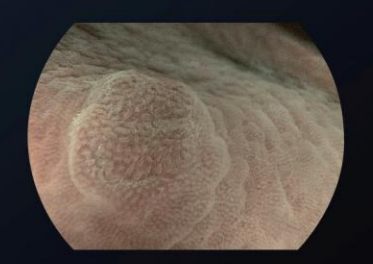


SFI-1





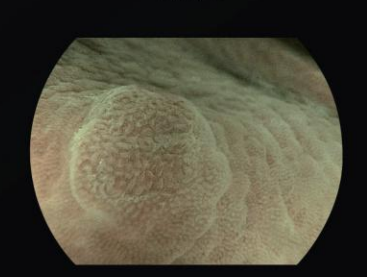
SFI-3



VIST-1



VIST-2



VIST-3

深圳开立生物医疗科技股份有限公司 SONOSCAPE MEDICAL CORP.

地址:深圳市南山区粤海街道麻岭社区高新中区科技中2路1号深圳软件园(2期)12栋201、202

电话: 86-755-26722890

网站: www.sonoscape.com.cn 邮箱: sonoscape@sonoscape.net 禁忌内容或者注意事项详见说明书 粤械广审(文)第240604-00839号 注册证编号

医用内窥镜图像处理器 粤械注准20182061081 医用内窥镜冷光源 粤械注准20192061100 电子上消化道内窥镜 粤械注准20232061825 电子下消化道内窥镜 粤械注准20232062125